

# I - 8 吊橋の振動性状に関する2,3の考察

京都大学工学部 正員 ○白石 成人  
同上 学生員 宇都宮 英彦

## 1. まえがき

われわれはさきに吊橋の動的性質を解析する目的から、その基礎方程式を誘導することを試みた。<sup>1), 2)</sup> その結果、吊橋の動的挙動はいくつもの変形 modes が連成し、自由振動でもその解析はかなり複雑になるよう考へられた。ここでは、上の関係式にちとずき、単純化した2, 3の場合について、ねじれ振動、水平たわみ振動、たわみ振動に関する数値計算の結果を報告したい。

## 2. 数値計算例

### a. ねじれ振動

ねじれ振動の運動方程式は

$$\mu I \ddot{\theta} + \frac{\partial^2}{\partial x^2} \left\{ EI b \frac{\partial^2 \theta}{\partial x^2} \right\} - \frac{\partial}{\partial x} \left\{ MI \frac{\partial \theta}{\partial x} \right\} + b \lambda_1 \left( h + w_0 + \frac{b \theta}{2} - w_r \right) - b \lambda_2 \left( h + w_0 - \frac{b \theta}{2} - w_r \right) = 0$$

$$\frac{w_c}{g} \sqrt{1+h'^2} \ddot{w}_r + \frac{\partial}{\partial x} \left\{ E_c A_c \frac{h' (w'_r - h' w_r)}{(1+h'^2)^2} \right\} + H_w h'' - H_w \frac{\partial}{\partial x} \left\{ \frac{w_r + h' u'_r}{1+h'^2} \right\} - 2 \lambda_1 \left( h + w_0 + \frac{b \theta}{2} - w_r \right) = w_c \sqrt{1+h'^2}$$

$$\frac{w_c}{g} \sqrt{1+h'^2} \ddot{w}_r + \frac{\partial}{\partial x} \left\{ E_c A_c \frac{h' (u'_r - h' w_r)}{(1+h'^2)^2} \right\} + H_w h'' - H_w \frac{\partial}{\partial x} \left\{ \frac{w_r + h' u'_r}{1+h'^2} \right\} - 2 \lambda_2 \left( h + w_0 - \frac{b \theta}{2} - w_r \right) = w_c \sqrt{1+h'^2}$$

等で表わされたが、いま簡単化する目的から、補剛析のたわみ  $w_0$  を無視し、かつケーブルの変位は鉛直方向のみと考えるならば、 $w_r = -w_r = b\theta$  なる関係からかから、これよりねじれ振動の振動数および  $w$  modes が求められる。Rayleigh-Ritz の方法によりえた計算結果は下表に示すとおりである。水平たわみ剛性  $EI_h$  の異なるいくつのかり場合、ねじれ modes は低次の部分ではほぼ同一形状であり、高次になると従つて、 $I_h$  の変化による modes の形状変化も顕著に表われるようである。

### b. 水平たわみ振動

水平たわみ振動は、9個の基礎方程式のうち、次の3個の方程式

$$\frac{w_c}{g} \ddot{v}_0 + \frac{\partial^2}{\partial x^2} \left\{ EI_c \frac{\partial^2 v_0}{\partial x^2} \right\} - \frac{\partial}{\partial x} \left\{ b \lambda_1 \left( \frac{b^2}{2} \frac{\partial v_0}{\partial x} - u_r \right) \right\} - \frac{\partial}{\partial x} \left\{ b \lambda_2 \left( \frac{b^2}{2} \frac{\partial v_0}{\partial x} + u_r \right) \right\} + 2 \lambda_1 (v_0 - v_r) + 2 \lambda_2 (v_0 - v_r) = 0$$

$$\frac{w_c}{g} \sqrt{1+h'^2} \ddot{v}_r - H_w \frac{\partial^2 v_r}{\partial x^2} - 2 \lambda_1 (v_0 - v_r) = 0$$

$$\frac{w_c}{g} \sqrt{1+h'^2} \ddot{v}_r - H_w \frac{\partial^2 v_r}{\partial x^2} - 2 \lambda_2 (v_0 - v_r) = 0$$

が基礎となると考へられる。オイラーは補剛析のたわみ変形に関するもので、オイラーの式はケーブルの関係式である。いまケーブルの水平変位  $v$  を無視し、ハンガー反力  $\lambda_1 = \lambda_2 = -\frac{w_c}{gh}$  を代入すれば、 $v_0 = v_r = V$  の変形の連成式となる。<sup>3)</sup> この場合、ハンガー反力は変形に無関係に分布すると言えられると、ハンガー長の変化しないという拘束条件を満足させた場合には明らかに非線型の挙動が表われるものと思われる。ここでは、前者の仮定にもとづいて計算を行つたが、その結果の一例を下図に示す。これより補剛析の modes とケーブルの節点の数は必ずしも同一でなく、また近似度を上げるために多くの項数を多く

に適当な重み関数を modes に用いたことが考えられた。

### C. たわみ振動

たわみ振動の場合、基礎方程式は 3 個の微分方程式と 1 個の拘束条件式で与えられるが、拘束条件が変位について非線型的であり、この厳密解は容易に求められないようである。いま上例と同様にハンガー反力を  $-\frac{mg}{L}$  を導入すれば、簡単な計算によって固有振動数が求められる。しかし、その modes は補剛解析のたわみ量が、ケーブルのたわみ量より著しく大きい。この点、実際的立場よりより合理的な反力関数を導入する必要があると考えられる。<sup>2)</sup>

### 3. もすび

吊橋の動的挙動を知るため、主として明石海峡連絡吊橋計画案の諸量を用いて、2,3 の数値計算を行った。ここでは main span の部分のみを対象としたが、side span, tower の影響、また空気力洋上の考慮も必要な研究対象であり、これらの問題を解明する研究の一環として、これまでの結果を報告する。

### 参考文献

- 1) N. Shiraishi, Mem. of Facul. of Eng., Kyoto Univ. Vol XXV, Part 2, April, 1963
- 2) 白石, 宇都宮, 岩田, 土木学会年次学術講演会, I-83, April, 1963
- 3) M. Ito, Trans. of JSCE, No. 81, May, 1962

### ねじり振動の固有円振動数

$I_b (m^4)$	5	10	15	20	25
単純化した場合	$\omega_1$ 3.1661	3.2700	3.3703	3.4675	3.5618
1項近似	対称 $\omega_1$	2.949	3.0610	3.168	3.279
	非対称 $\omega_2$	4.931	5.313	5.558	5.793
2項近似	対称 $\omega_1$	2.546	2.720	2.894	3.012
	非対称 $\omega_2$	4.082	4.678	4.994	5.303

### 吊橋諸元

$$\text{スパン長 } l = 1300 \text{ m}$$

$$\text{垂距 } f = 108 \text{ m}$$

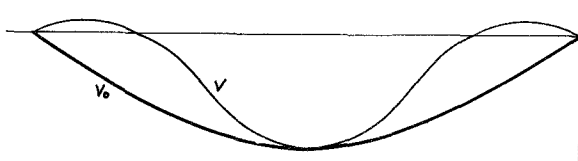
$$\text{自重 } W = 60 \text{ t/m}$$

$$\text{ケーブル断面} = A_c = 1.232 \text{ m}^2/\text{cable}$$

$$\text{剛性係数}, I_y = 2 \times 5 \text{ m}^4, \text{ 中量 } b = 30 \text{ m}$$

### 水平たわみ振動型 (-項近似の場合)

#### 対称振動型



#### 非対称振動型

